

# 中药三七“一测多评”质量控制方法的系统研究

王超群<sup>1</sup>, 贾秀虹<sup>1</sup>, 陈季<sup>1</sup>, 肖新月<sup>2</sup>, 王璇<sup>1\*</sup>, 蔡少青<sup>3\*</sup>

(1. 北京大学药学院化学生物学系, 北京 100191;

2. 中国食品药品检定研究院, 北京 100050;

3. 北京大学药学院天然药物与仿生药物国家重点实验室, 北京 100191)

**[摘要]** 目的:建立可用于中药三七质量控制的人参皂苷 R<sub>g1</sub>, R<sub>b1</sub>, Rd, Re 及三七皂苷 R<sub>1</sub>的“一测多评”定量检测方法。方法:采用 HPLC-DAD 测定 5 种活性皂苷成分之间的相对校正因子,并分别以这 5 种成分中的任 1 种作为参照成分,建立可对另外 4 种成分定量检测的“一测多评”方法。分别采用 5 台不同的 HPLC 仪器,5 种不同 C<sub>18</sub> 色谱柱及 4 个检测波长验证所建立方法的耐用性。进而采用建立的“一测多评”方法测定并计算 43 批三七药材样品中 5 种皂苷类成分含量,并与外标法比较,以评价“一测多评”法的准确性。结果:5 种皂苷成分分别为参照成分时,43 批药材中 R<sub>g1</sub>, R<sub>b1</sub>, Rd, Re, R<sub>1</sub> 的“一测多评”法含量计算结果( $W_f$ )均与外标法的含量测定结果( $W_s$ )无显著性差异,2 种方法的含量测定结果的比值( $W_s/W_f$ )为(94.02 ± 2.11)% ~ (99.75 ± 0.79)%,说明方法准确度高、重复性好。相对校正因子耐用性良好,在不同色谱柱、不同仪器及不同检测波长下 RSD 分别为 0.42% ~ 3.7%, 0.52% ~ 3.5%, 0.79% ~ 4.9%。采用相对保留值方法可以对 5 种成分色谱峰准确定位,其数值的 RSD 为 0.18% ~ 13%。结论:本研究建立了准确、快速且耐用性良好的 5 种活性皂苷类成分同时定位定量的三七“一测多评”方法,为“一测多评”法应用于中药质量控制提供了可靠依据。

**[关键词]** 一测多评;HPLC;三七;人参皂苷;三七皂苷;相对校正因子;中药质量控制;耐用性

常用中药三七来源于五加科植物三七 *Panax notoginseng* (Burk.) F. H. Chen 的干燥根及根茎,具有散瘀止血、消肿定痛的功效<sup>[1]</sup>。三七不仅以单味药的形式在临幊上广泛使用,而且是著名中成药“云南白药”、“复方丹参滴丸”等制剂的主要原料。现代研究证明,三七还具有抗肿瘤<sup>[2-3]</sup>及心血管系统保护<sup>[4-5]</sup>等作用,皂苷类成分是其主要的活性成分。目前,三七的质量控制采用三七皂苷 R<sub>1</sub>、人参皂苷 R<sub>g1</sub> 及 R<sub>b1</sub> 的总量作为标准<sup>[1]</sup>。但是,三七皂苷类成分对照品大都较昂贵,且难获得,不利于三七质控的发展。“一测多评”法作为采用单一对照品对多指标同时定量的方法,解决了这一难题。目前,这种方法已成功应用于黄连中 4 种成分的质量控制<sup>[1]</sup>,近年来其他中药的相关报道也逐渐增多<sup>[6-9]</sup>,但仍未见

应用于三七的专属性强、准确度高且耐用性好的“一测多评”质量控制方法。

本课题组前期已成功建立三七的指纹图谱<sup>[10]</sup>及三七中 11 种成分同时 HPLC 定量的方法<sup>[11]</sup>。为克服对照品不易得到对三七多成分含量检测带来的困难,本研究建立了三七中 5 种皂苷成分的“一测多评”方法,并探讨以该方法进行质量控制的可行性及适用性。

## 1 材料

Agilent 1200 及 1100 高效液相色谱仪, Agilent chemstation 工作站(美国安捷伦公司); Shimadzu LC-10A 及 LC-20A 高效液相色谱仪, LC solution 工作站(日本岛津公司); Waters Alliance e2695 高效液相色谱仪, Empower 3 工作站(美国沃特世公司)。1/1 万天平(美国 Mettler 公司), 1/10 万天平(美国 Sartorius 公司), YYF300 超声波清洗器(北京医科大学仪器厂), RE-52A 旋转蒸发仪(上海亚荣生化仪器厂), F2100 高速万能粉碎机(天津泰斯特仪器有限公司), SHZ-3(III)型循环水泵(河南予华仪器有限责任公司)。

对照品人参皂苷 R<sub>g1</sub>, R<sub>b1</sub>, Rd, Re(以分别下用 R<sub>g1</sub>, R<sub>b1</sub>, Rd, Re 表示)及三七皂苷 R<sub>1</sub>(以下用 R<sub>1</sub> 表

[稿件编号] 20120605008

[基金项目] 国家“重大新药创制”科技重大专项(2009ZX09502-023);中医药行业科研专项(200707009);国家药典委员会标准研究项目(Y2-305)

[通信作者] \* 王璇,教授,Tel/Fax:(010)82806818,E-mail:xuanwang6818@bjmu.edu.cn; \* 蔡少青,教授,Tel/Fax:(010)82801693,E-mail:sqcai@bjmu.edu.cn

[作者简介] 王超群,硕士研究生,E-mail:wangchaoqun8676@live.cn

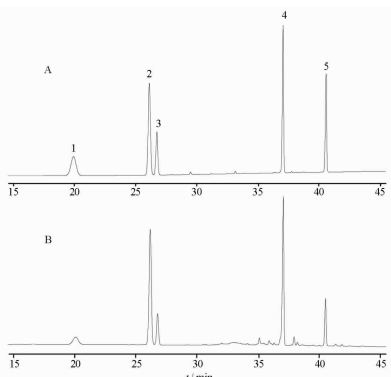
示)均购自中国食品药品检定研究院(批号分别为110703-201027, 110703-200921, 111818-201001, 110754-200822, 110745-200617), 纯度分别为96.3%, 92.9%, 94.4%, 88.8%, 100%。分析纯甲醇(北京化工厂), 色谱纯乙腈及甲醇(美国 Fisher公司), 纯净水(杭州娃哈哈集团有限公司)。

实验中所用43批三七药材及饮片收集于云南、广西、北京、杭州、四川、安徽等地, 其产地均为云南或广西, 由北京大学天然药物与仿生物药国家重点实验室蔡少青教授鉴定为五加科植物三七 *P. notoginseng* 的干燥根。药材标本保存在北京大学药学院生药标本室。

## 2 方法与结果

### 2.1 方法

**2.1.1 色谱条件** Agilent 1200 高效液相色谱仪, Phenomenex Luna C<sub>18</sub> 色谱柱(4.6 mm × 250 mm, 5 μm); 流动相水(A)-乙腈(B), 梯度洗脱0~20 min, 20% B, 20~45 min, 20%~46% B, 45~55 min, 46%~55% B, 55~60 min, 55%~90% B。流速1.5 mL·min<sup>-1</sup>, 检测波长203 nm, 柱温25℃, 进样量10 μL。上述色谱条件下, 各待测组分峰分离效果良好(分离度>1.5), 见图1。



A. 对照品; B. 样品; 1. 三七皂苷 R<sub>1</sub>; 2. 人参皂苷 R<sub>g1</sub>; 3. 人参皂苷 R<sub>e</sub>; 4. 人参皂苷 R<sub>b1</sub>; 5. 人参皂苷 R<sub>d</sub>。

图1 对照品和三七样品 HPLC 图

Fig. 1 HPLC chromatograms of reference substances and notoginseng sample

**2.1.2 对照品溶液的制备** 精密称取R<sub>g1</sub>, R<sub>b1</sub>, R<sub>d</sub>, R<sub>e</sub>, R<sub>1</sub>适量, 加甲醇制成质量浓度分别为2.84, 2.88, 0.99, 1.26, 1.56 g·L<sup>-1</sup>的混合对照品溶液, 再采用甲醇稀释得到7个浓度级别的混合对照品溶液。

**2.1.3 供试品溶液的制备** 精密称取三七样品粉末(过40目筛)0.5 g, 精密加入甲醇15 mL, 超声波提取30 min, 滤过, 重复提取1次, 合并滤液, 减压蒸干溶剂, 用甲醇(色谱纯)溶解残渣并定容至10 mL, 过0.45 μm滤膜, 即得供试品溶液。

**2.1.4 相对校正因子的计算** 根据公式( $A_n \times W_s$ )/ $A_s = fr \times W_n$ , 其中A, W, fr分别为色谱峰面积、成分的质量浓度(g·L<sup>-1</sup>)及相对校正因子, 下标n, s分别代表待测成分及参照成分。以W<sub>n</sub>对( $A_n \times W_s$ )/ $A_s$ 作回归处理, 所得回归曲线的斜率即为相对校正因子。以该方法分别求算当R<sub>g1</sub>, R<sub>b1</sub>, R<sub>d</sub>, R<sub>e</sub>及R<sub>1</sub>单独作为参照成分时, 其他4种成分的相对校正因子(fr)。

### 2.2 方法学验证

**2.2.1 标准曲线的建立** 分别吸取7个浓度的混合对照品溶液进样分析2次, 取色谱峰面积的平均值。以对照品溶液浓度对峰面积积分值进行回归处理, 得R<sub>g1</sub>, R<sub>b1</sub>, R<sub>d</sub>, R<sub>e</sub>及R<sub>1</sub>的标准曲线, 结果表明5种成分在相应的线性范围内线性关系良好, 结果见表1。

**2.2.2 日间、日内精密度验证** 精密吸取某一级别混合对照品溶液10 μL, 连续进样5次, R<sub>g1</sub>, R<sub>b1</sub>, R<sub>d</sub>, R<sub>e</sub>及R<sub>1</sub>色谱峰面积的日内精密度的RSD分别为1.4%, 1.8%, 1.0%, 2.0%, 1.0%。精密吸取某一级别混合对照品溶液10 μL, 每天进样2次连续3 d, R<sub>g1</sub>, R<sub>b1</sub>, R<sub>d</sub>, R<sub>e</sub>及R<sub>1</sub>色谱峰面积的日间精密度RSD分别为0.72%, 0.70%, 0.94%, 1.2%, 1.6%。精密吸取药材(6605号)的供试品溶液10 μL, 连续进样6次, 各色谱峰面积的RSD分别为0.91%, 1.0%, 1.3%, 1.3%, 2.1%。以上结果均表明仪器的精密度良好。

**2.2.3 样品稳定性验证** 取新制备的三七供试品溶液(编号6692), 在室温下放置0, 2, 4, 8, 12, 24, 48, 72 h后各精密吸取10 μL进样, R<sub>g1</sub>, R<sub>b1</sub>, R<sub>d</sub>, R<sub>e</sub>及R<sub>1</sub>色谱峰面积的RSD分别为0.84%, 2.8%, 2.3%, 1.8%, 1.3%, 结果表明供试品溶液在72 h内稳定。

**2.2.4 方法重复性验证** 取同一批三七药材粉末(编号6606), 共7份, 精密称定, 按**2.1.3**方法制备样品, 测得R<sub>g1</sub>, R<sub>b1</sub>, R<sub>d</sub>, R<sub>e</sub>及R<sub>1</sub>的平均质量分数分别为2.03%, 1.74%, 0.49%, 0.29%, 0.56%, RSD分别为2.9%, 2.9%, 3.0%, 3.0%, 2.5%, 结果表明该方法重复性

良好。

表1 三七中5种皂苷成分的标准曲线、线性范围、定量限及检测限

Table 1 The standards' calibration curves, linear ranges, LOD and LOQ of five saponins in *Panax notoginseng*

皂苷成分	标准曲线	R <sup>2</sup>	线性范围/g·L <sup>-1</sup>	LOD/μg	LOQ/μg
R <sub>1</sub>	$Y=1.763.9X+3.3$	0.999 9	0.02~1.56	0.03	0.2
R <sub>g1</sub>	$Y=2.237.8X+55.8$	0.999 9	0.04~2.84	0.01	0.4
Re	$Y=2.218.8X+10.3$	0.999 9	0.02~1.26	0.01	0.2
R <sub>b1</sub>	$Y=1.662.2X+35.9$	0.999 9	0.04~2.88	0.01	0.4
Rd	$Y=2.061.8X+8.9$	0.999 7	0.02~0.99	0.01	0.2

## 2.3 相对校正因子的计算及其耐用性验证

### 2.3.1 用不同高效液相色谱仪测定的耐用性验证

取2.1.2项下的系列混合对照品溶液,分别精密吸取10 μL,采用Phenomenex Luna C<sub>18</sub>色谱柱,分别在Agilent 1100, Agilent 1200, Shimadzu LC-10A, Shimadzu LC-20A, Waters Alliancee 2695等5种高效液相色谱仪上进样检测,按2.1.4项中的方法,求算以R<sub>g1</sub>, R<sub>b1</sub>, Rd, Re及R<sub>1</sub>分别作为参照成分时其他4种成分的相对校正因子,采用不同仪器测定得到的各待测成分的5个相对校正因子的RSD评价相对校正因子的耐用性,结果显示RSD在0.52%~3.5%,说明相对校正因子在使用不同仪器时的耐用性良好,结果见表2。

### 2.3.2 用不同C<sub>18</sub>色谱柱测定的耐用性验证

取2.1.2项下的系列混合对照品溶液,分别精密吸取10 μL,在Agilent 1200高效液相色谱仪上,分别采用Phenomenex Luna C<sub>18</sub>(4.6 mm×250 mm, 5 μm;下同), Agilent Zorbax SB-C<sub>18</sub>, Dikma Diamonsil C<sub>18</sub>, Waters Symmetry C<sub>18</sub>及Merck Hibar Purospher STAR RP-C<sub>18</sub>等5种色谱柱进行检测,按2.1.4项中的方法,求算以R<sub>g1</sub>, R<sub>b1</sub>, Rd, Re及R<sub>1</sub>分别作为参照成分时其他4种成分的相对校正因子,使用不同色谱柱测定时各相对校正因子RSD在0.42%~3.7%,说明相对校正因子在使用不同色谱柱时耐用性良好,结果见表3。

表2 使用不同高效液相色谱仪测定并计算得到的各待测成分的相对校正因子

Table 2 Relative correction factors determined on different HPLC instruments

HPLC 仪器	R <sub>1</sub> <sup>1)</sup>				R <sub>g1</sub>				Re				R <sub>b1</sub>				Rd			
	R <sub>g1</sub> <sup>2)</sup>	Re	R <sub>b1</sub>	Rd	R <sub>1</sub>	Re	R <sub>b1</sub>	Rd	R <sub>1</sub>	R <sub>g1</sub>	R <sub>b1</sub>	Rd	R <sub>1</sub>	R <sub>g1</sub>	Re	Rd	R <sub>1</sub>	R <sub>g1</sub>	Re	R <sub>b1</sub>
仪器-1	1.27	1.26	0.94	1.17	0.79	0.99	0.74	0.92	0.81	1.01	0.76	0.94	1.06	1.35	1.34	1.24	0.86	1.07	1.08	0.81
仪器-2	1.26	1.23	0.94	1.14	0.79	0.99	0.74	0.92	0.81	1.01	0.77	0.93	1.06	1.34	1.30	1.22	0.87	1.10	1.07	0.82
仪器-3	1.25	1.30	0.92	1.13	0.80	1.04	0.73	0.90	0.77	0.96	0.74	0.87	1.09	1.36	1.42	1.23	0.89	1.11	1.15	0.81
仪器-4	1.25	1.23	0.93	1.14	0.80	0.99	0.74	0.92	0.81	1.01	0.75	0.93	1.08	1.35	1.33	1.23	0.87	1.09	1.08	0.81
仪器-5	1.27	1.23	0.94	1.15	0.79	0.97	0.74	0.91	0.81	1.03	0.76	0.93	1.07	1.35	1.32	1.23	0.86	1.10	1.07	0.81
RSD/%	0.79	2.5	0.96	1.3	0.69	2.6	0.61	0.98	2.2	2.6	1.5	3.1	1.2	0.52	3.4	0.57	1.4	1.4	3.1	0.55

注:<sup>1)</sup>此行为参照成分;<sup>2)</sup>此行为待测成分(表3,4同)。

表3 使用不同色谱柱测定并计算得到的各待测成分的相对校正因子

Table 3 Relative correction factors determined on different columns

C <sub>18</sub> 色谱柱	R <sub>1</sub> <sup>1)</sup>				R <sub>g1</sub>				Re				R <sub>b1</sub>				Rd			
	R <sub>g1</sub> <sup>2)</sup>	Re	R <sub>b1</sub>	Rd	R <sub>1</sub>	Re	R <sub>b1</sub>	Rd	R <sub>1</sub>	R <sub>g1</sub>	R <sub>b1</sub>	Rd	R <sub>1</sub>	R <sub>g1</sub>	Re	Rd	R <sub>1</sub>	R <sub>g1</sub>	Re	R <sub>b1</sub>
色谱柱-1	1.27	1.24	0.94	1.17	0.79	0.98	0.74	0.92	0.81	1.01	0.76	0.94	1.06	1.35	1.34	1.24	0.86	1.07	1.08	0.81
色谱柱-2	1.25	1.21	0.94	1.16	0.80	0.97	0.75	0.93	0.83	1.02	0.78	0.96	1.06	1.32	1.28	1.22	0.86	1.06	1.05	0.81
色谱柱-3	1.27	1.24	0.95	1.16	0.79	0.98	0.75	0.91	0.80	1.01	0.77	0.94	1.05	1.33	1.30	1.22	0.87	1.11	1.08	0.82
色谱柱-4	1.27	1.23	0.94	1.14	0.79	0.97	0.74	0.90	0.81	1.01	0.76	0.93	1.06	1.34	1.31	1.22	0.86	1.08	1.07	0.82
色谱柱-5	1.27	1.31	0.94	1.14	0.80	1.03	0.75	0.90	0.76	0.95	0.72	0.87	1.06	1.34	1.39	1.21	0.87	1.11	1.15	0.83
RSD/%	0.71	3.0	0.47	1.2	0.69	2.6	0.73	1.4	3.2	2.8	3.0	3.7	0.42	0.85	3.2	0.90	0.63	2.1	3.5	1.0

**2.3.3 采用不同检测波长测定的耐用性验证**  
**取2.1.2项下的系列混合对照品溶液,分别精密吸取10 μL,采用Shimadzu LC-10A高效液相色谱仪及Phenomenex Luna C<sub>18</sub>色谱柱进样检测,按2.1.4项中的方法,分别计算采用200,**

203, 207, 210 nm作为检测波长时5种成分之间的相对校正因子,不同检测波长下相对校正因子的RSD在0.79%~4.9%,说明相对校正因子在检测波长有微小变动下耐用性良好,结果见表4。

表4 使用不同检测波长测定并计算得到的各待测成分的相对校正因子

Table 4 Relative correction factors determined on different detective wavelengths

检测 波长	R <sub>i</sub> <sup>1)</sup>				R <sub>g1</sub>				Re				R <sub>b1</sub>				Rd			
	R <sub>g1</sub> <sup>2)</sup>	Re	R <sub>b1</sub>	Rd	R <sub>i</sub>	Re	R <sub>b1</sub>	Rd	R <sub>i</sub>	R <sub>g1</sub>	R <sub>b1</sub>	Rd	R <sub>i</sub>	R <sub>g1</sub>	Re	Rd	R <sub>i</sub>	R <sub>g1</sub>	Re	Rd
200 nm	1.24	1.35	0.91	1.21	0.80	1.09	0.73	0.93	0.73	0.91	0.66	0.85	1.10	1.36	1.48	1.28	0.86	1.08	1.17	0.79
203 nm	1.25	1.30	0.92	1.18	0.80	1.04	0.73	0.90	0.77	0.96	0.71	0.87	1.09	1.36	1.41	1.23	0.89	1.11	1.15	0.81
207 nm	1.22	1.24	0.91	1.16	0.82	1.01	0.74	0.91	0.80	0.98	0.73	0.89	1.10	1.34	1.36	1.22	0.90	1.10	1.12	0.82
210 nm	1.22	1.23	0.90	1.17	0.82	1.00	0.74	0.90	0.81	1.00	0.73	0.89	1.11	1.36	1.36	1.22	0.91	1.12	1.12	0.82
RSD/%	1.3	4.4	0.79	1.9	1.3	3.7	0.79	1.5	4.9	3.8	4.5	2.6	0.80	0.66	3.9	1.8	2.3	1.5	2.4	1.8

## 2.4 待测成分色谱峰的定位

本研究比较了在使用不同仪器及色谱柱进行测定时,保留时间、保留时间差值(保留时间差值的绝对值)及相对保留值(待测成分与参照成分保留时间的比值)对5种待测成分色谱峰在色谱图上的定位准确度(以RSD评价)。各待测成分的保留时间、

保留时间差值及相对保留值的RSD分别为2.3%~14%,2.6%~42%,0.18%~13%,且采用R<sub>g1</sub>作为参照成分时,相对保留值的RSD仅为1.6%~7.4%。由结果可知,保留时间差值的变化范围很大,不宜采用。相对保留值数值稳定,可以用于待测成分色谱峰的定位,结果见表5。

表5 使用不同仪器及色谱柱测定三七的保留时间、保留时间差值及相对保留值( $\bar{x} \pm s$ )Table 5 The retention time, differences in retention time and relative retention value determined on different instruments and different columns ( $\bar{x} \pm s$ )

待测 成分	保留时间 /min	保留时间差值的绝对值( $ RT_n - RT_s $ ) <sup>1)</sup> /min						相对保留时间( $RT_n/RT_s$ ) <sup>1)</sup>					
		R <sub>i</sub> <sup>2)</sup>	R <sub>g1</sub>	Re	R <sub>b1</sub>	Rd	R <sub>i</sub>	R <sub>g1</sub>	Re	R <sub>b1</sub>	Rd	R <sub>i</sub>	R <sub>g1</sub>
R <sub>i</sub>	19.4 ± 2.7 (13.97%) <sup>3)</sup>	6.2 ± 1.0 (16.55%)	7.0 ± 1.3 (18.47%)	17.6 ± 2.0 (11.29%)	21.1 ± 1.9 (9.17%)		0.8 ± 0.1 (7.43%)	0.7 ± 0.1 (8.71%)	0.5 ± 0.1 (12.03%)	0.5 ± 0.1 (12.10%)		0.5 ± 0.1 (12.10%)	
R <sub>g1</sub>	25.5 ± 1.8 (7.08%)	6.2 ± 1.0 (16.55%)	0.8 ± 0.3 (41.86%)	11.4 ± 1.1 (9.25%)	14.9 ± 1.0 (6.70%)	1.3 ± 0.1 (7.47%)	1.0 ± 0.0 (1.52%)	0.7 ± 0.0 (5.03%)	0.7 ± 0.0 (5.09%)	0.6 ± 0.0			
Re	26.3 ± 1.5 (5.37%)	7.0 ± 1.3 (18.47%)	0.8 ± 0.3 (41.86%)		10.6 ± 0.7 (6.94%)	14.1 ± 0.7 (4.87%)	1.4 ± 0.1 (8.93%)	1.0 ± 0.0 (1.55%)		0.7 ± 0.0 (3.61%)	0.7 ± 0.0 (3.64%)		
R <sub>b1</sub>	36.9 ± 0.9 (2.33%)	17.6 ± 2.0 (11.29%)	11.4 ± 1.1 (9.25%)	10.6 ± 0.7 (6.94%)		3.5 ± 0.1 (2.63%)	1.9 ± 0.2 (12.70%)	1.5 ± 0.1 (5.27%)	1.4 ± 0.1 (3.70%)		0.9 ± 0.0 (0.18%)		
Rd	40.4 ± 0.9 (2.28%)	21.1 ± 1.9 (9.17%)	14.9 ± 1.0 (6.70%)	14.1 ± 0.7 (4.87%)	3.5 ± 0.1 (2.63%)		2.1 ± 0.3 (12.72%)	1.6 ± 0.1 (5.27%)	1.5 ± 0.1 (3.73%)	1.1 ± 0.0 (0.18%)			

注:<sup>1)</sup>下标n,s分别代表待测成分和参照成分;<sup>2)</sup>此行为参照成分;<sup>3)</sup>相对标准偏差(RSD)。

## 2.5 “一测多评”法与外标法测定结果的比较

分别以R<sub>g1</sub>, R<sub>b1</sub>, Rd, Re, R<sub>i</sub>作为“一测多评”法的参照成分,计算43批三七药材样品中5种成分的质量分数(“一测多评”法测定结果以W<sub>f</sub>表示),并与外标法的测定结果(W<sub>s</sub>)进行比较,结果见表6,7,方差分析结果显示同一成分分别用2种方法求得的

含量值之间无显著性差异。此外,采用外标法与“一测多评”法所得含量的比值(W<sub>s</sub>/W<sub>f</sub>)评价“一测多评”法的准确度,以R<sub>g1</sub>, R<sub>b1</sub>, Rd, Re及R<sub>i</sub>分别作为参照成分时,另4种成分W<sub>s</sub>/W<sub>f</sub>的比值分别为(96.16 ± 2.12)%~(99.46 ± 0.77)%,(96.15 ± 2.17)%~(99.12 ± 0.79)%,(96.00 ± 1.65)%~

(99.75 ± 0.79)% , (96.02 ± 1.61)% ~ (99.21 ± 0.77)% , (94.20 ± 2.11)% ~ (98.73 ± 0.93)%。

结果表明建立的“一测多评”法的准确度与外标法相当。

表6 “一测多评”法与外标法测定5种皂苷成分含量准确度的比较( $\bar{x} \pm s$ )

Table 6 The comparison of QAMS method and Standards' calibration method( $\bar{x} \pm s$ )

参照成分	待测成分					指标成分 总和	RSD <sub>1</sub> (n=6)
	R <sub>1</sub>	R <sub>g1</sub>	Re	Rb <sub>1</sub>	Rd		
R <sub>1</sub>		96.83 ± 1.05	94.20 ± 2.11	97.74 ± 2.19	97.06 ± 4.88	98.73 ± 0.93	1.7
R <sub>g1</sub>	99.46 ± 0.77		96.16 ± 2.12	97.11 ± 2.49	96.30 ± 4.15	98.45 ± 1.11	1.5
Re	99.21 ± 0.77	96.02 ± 1.61		97.50 ± 2.50	97.52 ± 4.20	97.41 ± 1.79	1.2
Rb <sub>1</sub>	99.12 ± 0.79	97.65 ± 1.68	96.15 ± 2.17		97.43 ± 4.30	98.61 ± 1.25	1.2
Rd	99.75 ± 0.79	96.00 ± 1.65	96.19 ± 2.17	97.91 ± 2.57		97.52 ± 1.82	1.6
RSD <sub>2</sub> (n=5)	0.28	0.81	1.03	0.35	0.54	0.61	

注:准确度 = ( $W_s / W_f$ ) × 100% ; RSD<sub>1</sub>。由同一参照成分分别求算其他4种成分的含量及4成分总量与外标法相比的相对标准偏差(%) ; RSD<sub>2</sub>。分别采用5种成分为参照成分,求算某一成分含量或5种成分总量与外标法相比的百分比的相对标准偏差(%)。

### 3 结论与讨论

#### 3.1 建立了三七5个皂苷成分“一测多评”方法

本项研究利用三七中皂苷类成分化学结构的相似性,建立了以1种成分为参照计算三七中5种皂苷成分含量的“一测多评”法,实现了用1种对照品测定计算三七中5种同类成分含量的构想。方差分析结果表明所建立的三七“一测多评”含量测定方法与外标法的测定结果无显著性差异;以工作曲线法(外标法)的测定结果为标准,以外标法( $W_s$ )与“一测多评”法( $W_f$ )分别测得的含量的比值( $W_s / W_f$ )评价“一测多评”法计算结果的准确性,结果令人满意。以5种不同皂苷分别单独为参照,分别测定另外4个皂苷类成分的含量, $W_s / W_f$ 均在(94.02 ± 2.11)% ~ (99.75 ± 0.79)%。通过对43份三七药材样品中5种皂苷成分的含量分析和统计学处理,当采用1种参照成分计算另4种成分含量及5成分总量的 $W_s / W_f$ 的RSD<sub>1</sub>(n=5)为1.2% ~ 1.7%,不同参照成分计算同一种成分含量的 $W_s / W_f$ 的RSD<sub>2</sub>(n=4)为0.28% ~ 1.0%,说明5种成分中参照成分的选取对准确度的影响较小,且不同的参照成分对待测成分不存在选择性。这表明5种皂苷成分中的任何一个成分作为参照成分计算出来的三七中5种成分的含量数据几乎一致,即选用5种皂苷中的任何一种作参照成分时的含量测定结果一致。

#### 3.2 本研究建立的方法对三七质量评价与鉴定有重要意义

该方法较2010年版《中国药典》中三七质量标准多检测了2个主要成分(Re,Rd),而这2种成分均为三七的活性成分,例如Rd具有抗动脉粥样硬化<sup>[12]</sup>、抗肿瘤<sup>[13]</sup>、神经保护<sup>[14]</sup>作用,而Re具有免疫调节<sup>[15]</sup>及降血糖<sup>[16]</sup>等活性,因此增加的2个成分益于三七的品质评价与质量控制,另一方面增加的2个成分对三七的鉴别也具有重要意义。本课题组前期研究也发现,5种皂苷成分总量(R<sub>g1</sub>,R<sub>b1</sub>,Rd,Re,R<sub>1</sub>)可以增大不同生长年限三七之间的差异。本研究中43批样品的3个成分(R<sub>1</sub>,R<sub>g1</sub>,R<sub>b1</sub>)总质量分数为0.67% ~ 9.81%,而5个成分的总质量分数为0.82% ~ 11.62%,曾有文献报道采用检测人参的“一测多评”方法,以人参皂苷Rb<sub>1</sub>为参照检测了三七中的人参皂苷R<sub>g1</sub>,Rd,Rh<sub>1</sub><sup>[17]</sup>,但未检测三七特有成分三七皂苷R<sub>1</sub>及三七中的主要成分之一人参皂苷Re。而本研究检测的5个指标成分既是三七中的主要成分,也是主要的活性成分,对提高中药三七的质量评价具有重要意义。此外,本研究建立的“一测多评”方法在多种类型的三七样品中进行了验证,包括不同头数三七、不同规格(三七个子、粉末、切片),不同生长年限及不同产地(广西、云南)的三七样品,为三七及三七片的质量标准的制定提供了更广泛的科学依据。

#### 3.3 在检测波长的小幅变化、使用不同仪器和不同色谱柱测定含量时方法的适用性良好

研究中发现,以5种皂苷成分分别作为参照成分计算其他成分的相对校正因子,在200 ~ 210 nm的4个检测波长下RSD均在5%以内,说明本方法

表7 采用人参皂苷 Rg<sub>1</sub>作为参照时“一测多评”法( $W_f$ )与外标法( $W_s$ )求得43批三七样品中5种皂苷类成分含量的比较Table 7 The comparison of contents of 5 saponins in 43 notoginseng samples assayed by both QAMS method and standards' calibration curves method when Rg<sub>1</sub> was used as internal referring substance

No.	样品 编号	产地	规格	Rg <sub>1</sub>		R <sub>1</sub>		Re		Rb <sub>1</sub>		Rd		总量	
				$W_s$	$W_f$	$W_s$	$W_f$	$W_s$	$W_f$	$W_s$	$W_f$	$W_s$	$W_f$	$W_s$	$W_f$
1	5966	云南	20头	1.59	0.37	0.38	0.29	0.30	2.76	2.81	0.54	0.56	5.56	5.64	
2	5967	云南	30头	0.87	1.57	1.57	0.35	0.35	3.02	3.08	0.66	0.68	6.47	6.55	
3	5968	云南	40头	1.54	1.06	1.06	0.19	0.20	1.29	1.34	0.26	0.28	4.35	4.42	
4	6498	云南	20头	2.08	0.53	0.53	0.75	0.75	1.77	1.82	0.36	0.38	5.50	5.57	
5	6499	云南	30头	1.82	0.59	0.59	0.78	0.78	1.53	1.58	0.38	0.40	5.10	5.16	
6	6500	云南	40头	2.86	0.80	0.80	0.23	0.24	3.02	3.08	0.67	0.69	7.58	7.66	
7	5908	云南	特号	2.33	0.63	0.64	0.19	0.20	3.26	3.31	0.60	0.62	7.01	7.09	
8	5909	云南	一号	1.60	0.47	0.47	0.15	0.16	1.15	1.19	0.30	0.32	3.67	3.74	
9	6501	广西靖西	40头	4.40	0.33	0.34	0.41	0.41	1.80	1.85	0.38	0.39	7.31	7.39	
10	6502	广西德保	20头	3.00	0.51	0.51	0.36	0.36	2.76	2.81	0.62	0.64	7.25	7.32	
11	6503	广西隆林	130~140头	2.56	0.25	0.26	0.22	0.23	1.93	1.98	0.54	0.56	5.50	5.58	
12	6536a	云南	40头切片	2.55	1.03	1.03	0.20	0.21	2.72	2.77	0.50	0.52	7.01	7.08	
13	6537a	云南	80头切片	1.77	0.77	0.78	0.23	0.23	3.24	3.30	0.62	0.63	6.63	6.71	
14	6538	云南	切片	1.78	0.59	0.60	0.21	0.21	1.52	1.57	0.32	0.33	4.42	4.50	
15	6539	不详	切片	2.15	0.63	0.63	0.33	0.34	2.43	2.48	0.50	0.51	6.04	6.11	
16	6521	云南	切片	2.37	0.56	0.56	0.29	0.29	2.06	2.11	0.44	0.45	5.72	5.79	
17	6522	云南	切片	2.13	0.50	0.50	0.27	0.27	1.99	2.04	0.44	0.45	5.33	5.40	
18	6540	云南	切片	2.62	0.79	0.79	0.32	0.33	2.38	2.43	0.53	0.55	6.65	6.72	
19	6543	云南	三七块	2.48	0.75	0.75	0.32	0.32	2.72	2.77	0.65	0.66	6.91	6.99	
20	6523	云南	切片	2.57	0.54	0.54	0.31	0.32	2.35	2.40	0.53	0.55	6.30	6.38	
21	6496	云南	薄片	1.62	0.38	0.38	0.19	0.20	1.68	1.73	0.31	0.32	4.19	4.26	
22	6536b	云南	40头切片	2.74	1.12	1.12	0.27	0.28	3.13	3.18	0.68	0.69	7.94	8.02	
23	6547	云南	切片	1.91	0.66	0.66	0.22	0.22	1.57	1.62	0.35	0.36	4.71	4.78	
24	6692	云南	120头	2.81	1.10	1.10	0.32	0.32	2.17	2.22	0.61	0.63	7.01	7.09	
25	6605	云南	切片	0.88	0.26	0.26	0.09	0.10	0.84	0.89	0.22	0.23	2.30	2.37	
26	6606	云南	切片	1.78	0.49	0.49	0.24	0.24	1.78	1.83	0.44	0.45	4.72	4.79	
27	6537b	云南	80头切片	2.26	0.97	0.97	0.32	0.32	2.70	2.75	0.69	0.70	6.93	7.01	
29	6545	云南	切片	2.41	0.61	0.62	0.27	0.27	2.33	2.38	0.60	0.61	6.22	6.29	
37	6686	云南	60头	2.77	0.79	0.79	0.25	0.26	1.98	2.03	0.64	0.66	6.43	6.50	
28	6685	云南	40头	2.00	0.99	1.00	0.24	0.25	3.16	3.21	0.94	0.96	7.32	7.41	
30	6691	云南	80头	2.19	0.68	0.68	0.24	0.24	1.70	1.75	0.50	0.52	5.31	5.38	
31	6505	广西	300头	1.80	0.51	0.51	0.38	0.39	1.82	1.87	0.51	0.53	5.02	5.09	
32	6600	云南	粉末	0.84	0.18	0.18	0.12	0.13	0.77	0.82	0.15	0.16	2.06	2.13	
33	6748	云南	粉末	2.60	0.70	0.71	0.32	0.33	2.52	2.57	0.60	0.62	6.75	6.83	
34	6548	云南	粉末	2.10	0.47	0.47	0.22	0.23	1.95	2.00	0.40	0.42	5.14	5.22	
35	2654 <sup>1)</sup>	云南文山县	三年生主根	3.17	0.57	0.57	0.29	0.30	2.67	2.72	0.70	0.71	7.39	7.47	
36	Y01033 <sup>1)</sup>	云南文山县	三年生须根	2.35	0.73	0.73	0.32	0.32	2.43	2.48	0.47	0.49	6.30	6.38	
38	20101216-3 <sup>1)</sup>	云南文山县	一年生全根	0.40	0.07	0.07	0.06	0.07	0.20	0.25	0.02	0.03	0.76	0.82	
39	20101214 <sup>1)</sup>	云南玉溪市	二年生主根	2.84	0.94	0.94	0.35	0.35	1.81	1.86	0.55	0.56	6.49	6.57	
40	20101217-1 <sup>1)</sup>	云南建水县	二年生主根	2.00	0.53	0.54	0.20	0.21	1.45	1.49	0.32	0.33	4.51	4.58	
41	20101216-2 <sup>1)</sup>	云南文山县	二年生主根	2.34	0.60	0.60	0.25	0.26	1.34	1.39	0.57	0.58	5.10	5.17	
42	20101216-1 <sup>1)</sup>	云南文山县	三年生主根	4.32	1.39	1.39	0.84	0.84	4.10	4.16	0.89	0.91	11.54	11.62	
43	20101217-2 <sup>1)</sup>	云南建水县	三年生主根	3.49	0.99	0.99	0.53	0.53	3.16	3.22	0.74	0.75	8.90	8.98	

注:<sup>1)</sup>自采药材。

得到的相对校正因子受检测波长的微小变化影响较小,在检测波长变化范围在±10 nm时,相对校正因

子随检测波长的规律性变化幅度不超过5%,说明相对校正因子在检测波长存在微小变化时

( $\pm 5$  nm)比较稳定。

### 3.4 不同高效液相色谱仪相对校正因子的比较

5个成分中的任一成分作为参照成分计算其他成分的校正因子的RSD均在4%以下,说明本研究建立的方法在不同厂牌高效液相色谱仪上有良好的适用性。在进行不同C<sub>18</sub>色谱柱相对校正因子的比较中发现,5个成分中的任一成分作为参照成分计算其他成分的校正因子的RSD均在4%以下,且采用不同色谱柱测得的相对校正因子与5种色谱柱的平均值的偏差均在5%以下,其中3种色谱柱测得相对校正因子与平均值的偏差仅为( $0.71 \pm 0.49$ )%~( $0.81 \pm 0.43$ )%,说明本研究建立的方法在不同C<sub>18</sub>色谱柱上有良好的适用性。

### 3.5 采用相对保留值可对待测成分色谱峰准确定位

待测组分峰的定位研究发现,若采用相对保留值进行定位,当所选参照成分的出峰位置比较居中,则对其他4个组分峰的定位准确度较高,例如采用R<sub>g1</sub>及R<sub>e</sub>作为对照对另几种组分定位时用不同仪器及色谱柱测定所得相对保留RSD分别为( $4.88 \pm 2.44$ )%,( $4.42 \pm 3.04$ )%,而采用R<sub>1</sub>,R<sub>b1</sub>,R<sub>d</sub>为参照时RSD较大,分别为( $10.46 \pm 2.67$ )%,( $5.21 \pm 4.98$ )%,( $5.50 \pm 5.47$ )%。因人参皂苷R<sub>g1</sub>是三七中的主要成分,较易得到高纯度对照品,且计算其他成分含量的准确度又较高,与外标法相比的比值在( $96.16 \pm 2.12$ )~( $99.46 \pm 0.77$ ),故可首选人参皂苷R<sub>g1</sub>作为三七中5种皂苷“一测多评”法定量检测的参照成分。在缺乏R<sub>g1</sub>对照品时,采用本文提供的相对校正因子及定位方法,选用另外4种成分中任一作为参照时也可得到较好的定位、定量效果。本研究结果解决了“一测多评”对待测组分色谱法准确定位的难题。

本研究建立了一个准确、重复性好、快速经济的三七多种皂苷成分的“一测多评”定量方法,提高了三七质量控制标准的水平,并为“一测多评”法在中药质控中的推广应用提供了更充分的依据。

### [参考文献]

- [1] 中国药典.一部[S]. 2010:11.
- [2] Yoo H S, Yoon J, Lee G H, et al. Best case series program supportive cases of *Cordyceps militaris*- and *Panax notoginseng*-based anticancer herbal formula[J]. *Integr Cancer Ther*, 2011, 10(4):NP1.
- [3] Sun S, Qi L W, Du G J, et al. Red notoginseng: higher ginsenoside content and stronger anticancer potential than Asian and American ginseng[J]. *Food Chem*, 2011, 125(4):1299.
- [4] Yue Q X, Xie F B, Song X Y, et al. Proteomic studies on protective effects of salvianolic acids, notoginsengnosides and combination of salvianolic acids and notoginsengnosides against cardiac ischemic-reperfusion injury[J]. *J Ethnopharmacol*, 2011, 141(2):659.
- [5] Chen S, Liu J, Liu X, et al. *Panax notoginseng* saponins inhibit ischemia-induced apoptosis by activating PI3K/Akt pathway in cardiomyocytes[J]. *J Ethnopharmacol*, 2011, 137(1):263.
- [6] 王钰莹,冯伟红,杨菲,等.“一测多评”法测定三黄片中的大黄蒽醌类成分[J]. 中国中药杂志,2012,37(2):212.
- [7] 杨芳,万丽,胡一晨,等.一测多评法测定川白芷药材中3种香豆素成分的含量[J]. 中国中药杂志,2012,37(7):956.
- [8] 黄山君,杨琪伟,石燕红,等.一测多评法测定白芍中芍药苷与芍药内酯苷的含量[J]. 中国中药杂志,2011,36(6):780.
- [9] 冯伟红,王智民,张启伟,等.一测多评法测定秦皮药材与饮片中香豆素类成分的含量[J]. 中国中药杂志,2011,36(13):1782.
- [10] 李静,王璇,马付勇,等.影响中药三七HPLC指纹谱的若干因素[J]. 中国天然药物,2004(1):34.
- [11] Jia X H, Wang C Q, Liu J H, et al. Comparative studies of saponins in 1—3-year-old main roots, fibrous roots, and rhizomes of *Panax notoginseng*, and identification of different parts and growth year samples [J]. *J Nat Med*, 10. 1007/S11418-012-0691-6.
- [12] Li J, Xie Z Z, Tang Y B, et al. Ginsenoside-Rd, a purified component from *Panax notoginseng* saponins, prevents atherosclerosis in apoE knockout mice[J]. *Eur J Pharmacol*, 2011, 652(1/3):104.
- [13] Yang Z G, Sun H X, Ye Y P. Ginsenoside Rd from *Panax notoginseng* is cytotoxic towards HeLa cancer cells and induces apoptosis[J]. *Chem Biodivers*, 2006, 3(2):187.
- [14] Zhang C, Du F, Shi M, et al. Ginsenoside Rd protects neurons against glutamate-induced excitotoxicity by inhibiting Ca(2+) influx[J]. *Cell Mol Neurobiol*, 2012, 32(1):121.
- [15] Sun H X, Chen Y, Ye Y. Ginsenoside Re and notoginsenoside R<sub>1</sub>: immunologic adjuvants with low haemolytic effect[J]. *Chem Biodivers*, 2006, 3(7):718.
- [16] Yang C, Wang J, Zhao Y, et al. Anti-diabetic effects of *Panax notoginseng* saponins and its major anti-hyperglycemic components[J]. *J Ethnopharmacol*, 2010, 130(2):231.
- [17] 朱晶晶,王智民,匡艳辉,等.一测多评法同步测定人参和三七药材中多种人参皂苷的含量[J]. 药学学报,2008(12):1211.

## Systematic study on QAMS method for quality control of *Panax notoginseng*

WANG Chao-qun<sup>1</sup>, JIA Xiu-hong<sup>1</sup>, CHEN Ji<sup>1</sup>, XIAO Xin-yue<sup>2</sup>, WANG Xuan<sup>1\*</sup>, CAI Shao-qing<sup>3\*</sup>

(1. Department of Chemical Biology, School of Pharmaceutical Sciences, Peking University, Beijing 100191, China;

2. National Institutes for Food and Drug Control, Beijing 100050, China;

3. State Key Laboratory of Natural and Biomimetic Drugs, School of Pharmaceutical Sciences,  
Peking University, Beijing 100191, China)

**[Abstract]** **Objective:** To establish a quantitative method of multi-components by single marker (QAMS) for determining ginsenoside Rg<sub>1</sub>, Rb<sub>1</sub>, Rd, Re and notoginsenoside R<sub>1</sub> for the purpose of the quality control of *Panax notoginseng*. **Method:** The relative correction factors (RCFs) between the five active saponins were determined by HPLC-DAD. With any of the five constituents as reference, a QAMS method was established for detect the quantitation of the other four constituents. The durability of the method was evaluated with five different HPLC instruments, five different C<sub>18</sub> chromatographic columns and four detective wavelengths. Subsequently, the new QAMS method was used to determine the contents of five saponins contained in 43 batches of notoginseng samples, and compare with external standard methods, in order to evaluate the accuracy of the QAMS method. **Result:** When the five saponins were taken for reference, there was no significant difference between the contents of Rg<sub>1</sub>, Rb<sub>1</sub>, Rd, Re and R<sub>1</sub> contained in the 43 batches of medicines calculated by the QAMS method ( $W_f$ ) and the content determination result of the external standard method ( $W_s$ ). The ratio of their results was ( $W_s/W_f$ ) (94.02 ± 2.11)% - (99.75 ± 0.79)%, suggesting that the method was highly accurate. Their relative correction factors showed good durability, ranging between 0.42% - 3.7%, 0.52% - 3.5% and 0.79% - 4.9%, respectively, with different chromatographic columns, different instruments and different detective wavelengths. The relative retention value method could be adopted for accurately position the chromatographic peak of the five constituents, with their values ranging between 0.18% - 13%. **Conclusion:** An accurate, rapid and highly durable QAMS method is established for simultaneous determination and location of five saponins, so as to provide reliable basis for the application of the QAMS method in quality control of traditional Chinese medicines.

**[Key words]** QAMS method; HPLC; *Panax notoginseng*; ginsenoside; notoginsenoside; relative correction factor; quality control of traditional Chinese medicine; robustness

doi:10.4268/cjcm20122220

[责任编辑 孔晶晶]